



UNIVERZITET U TUZLI
RUDARSKO-GEOLOŠKO-GRAĐEVINSKI FAKULTET



LUČNE BRANE



Prof. dr. sc. NEDIM SULJIĆ, dipl.ing.građ.

1

•Lučna brana → primjena efekta površinskog nosača



opterećenje prenosi na oslonce u padinama (stranama) i u dnu rijeke



dio opterećenja prenosi se “**konzolno**” u dno padine

dio opterećenja prenosi se “**lučno**” u padine (strane)



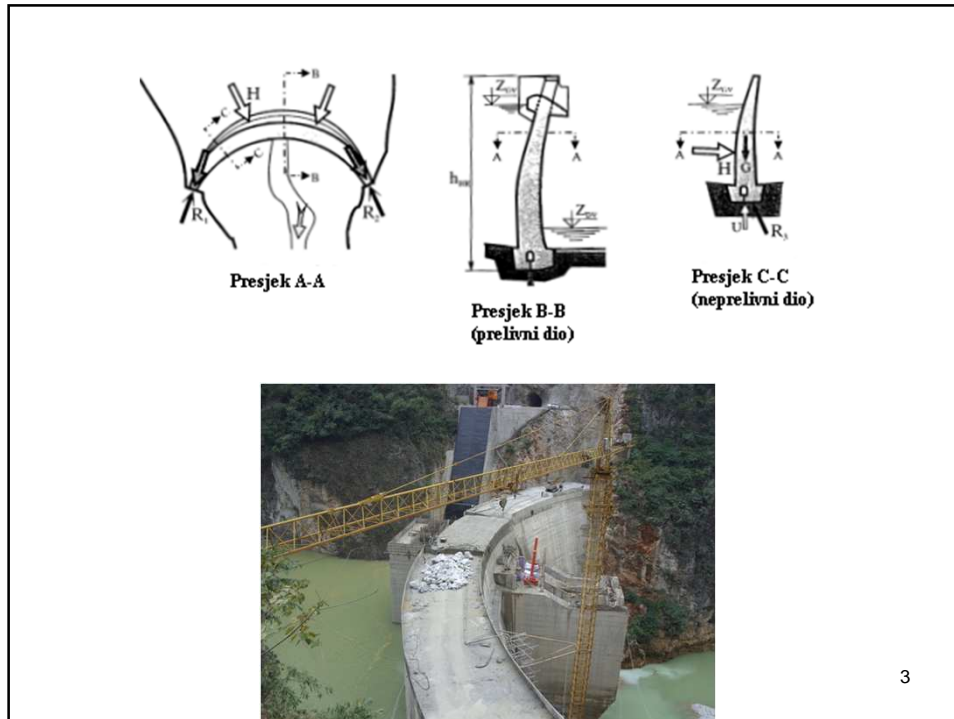
bolja raspoređenost napona u betonu nego kod GBB



dobijamo znatno manju **V** konstrukcije



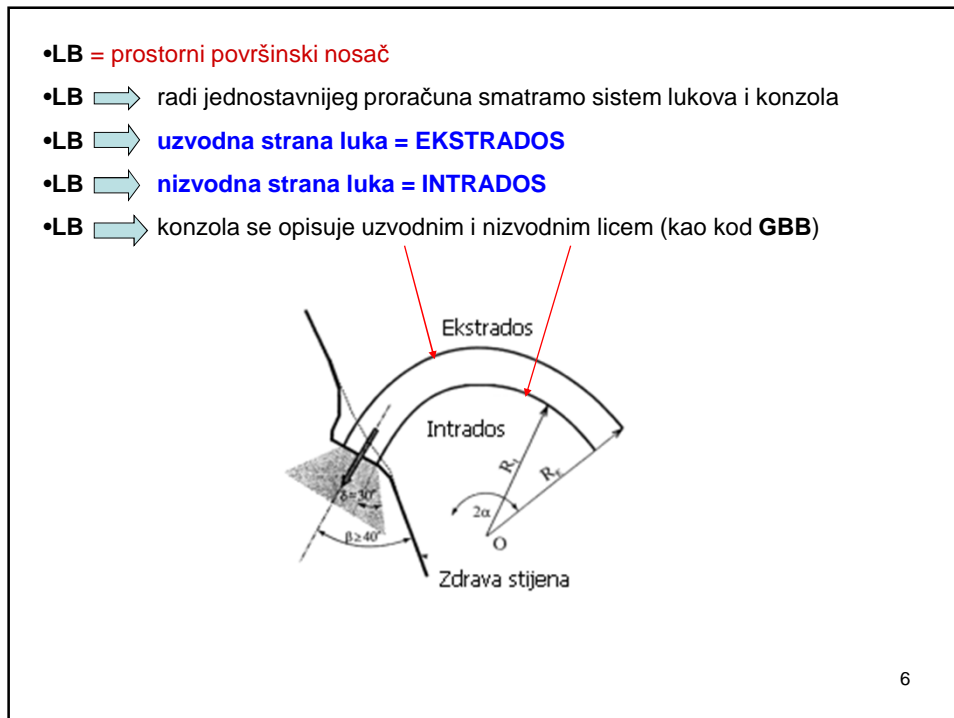
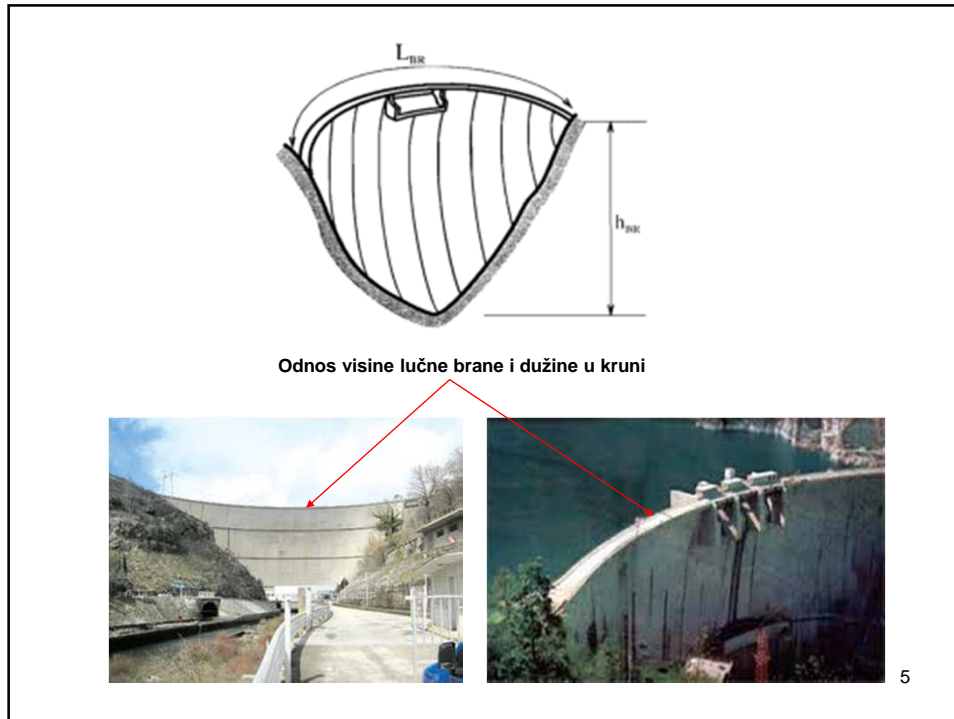
2

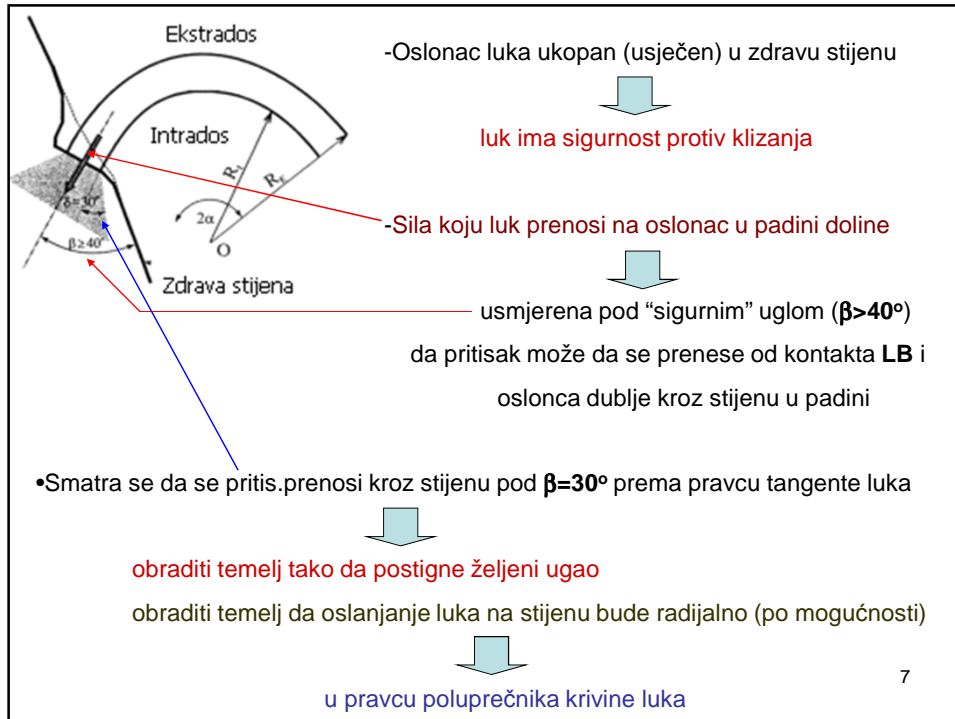


3

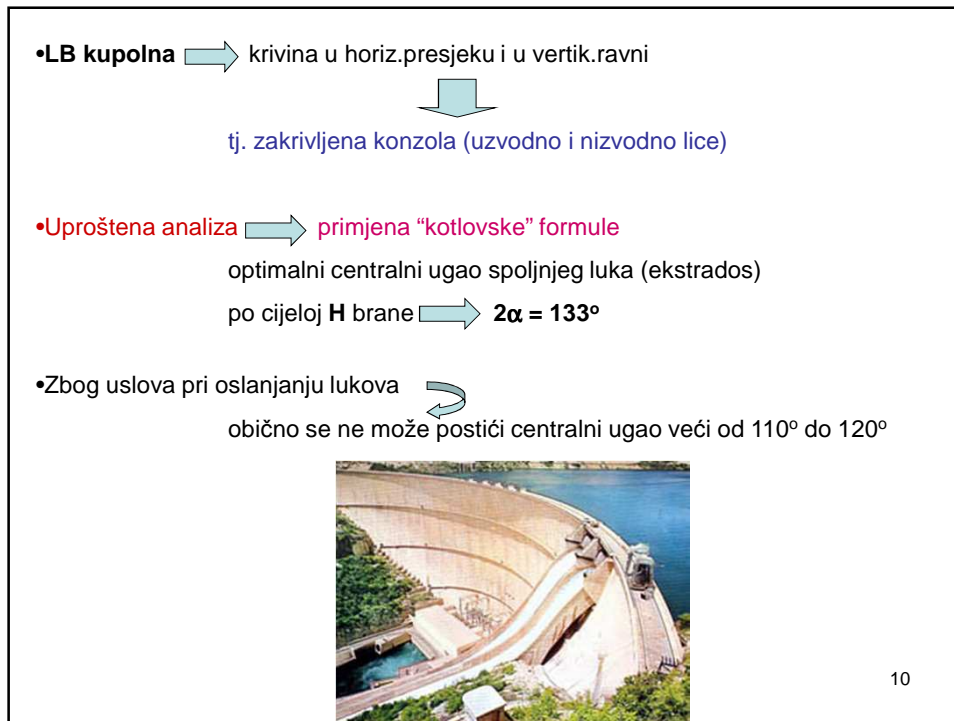
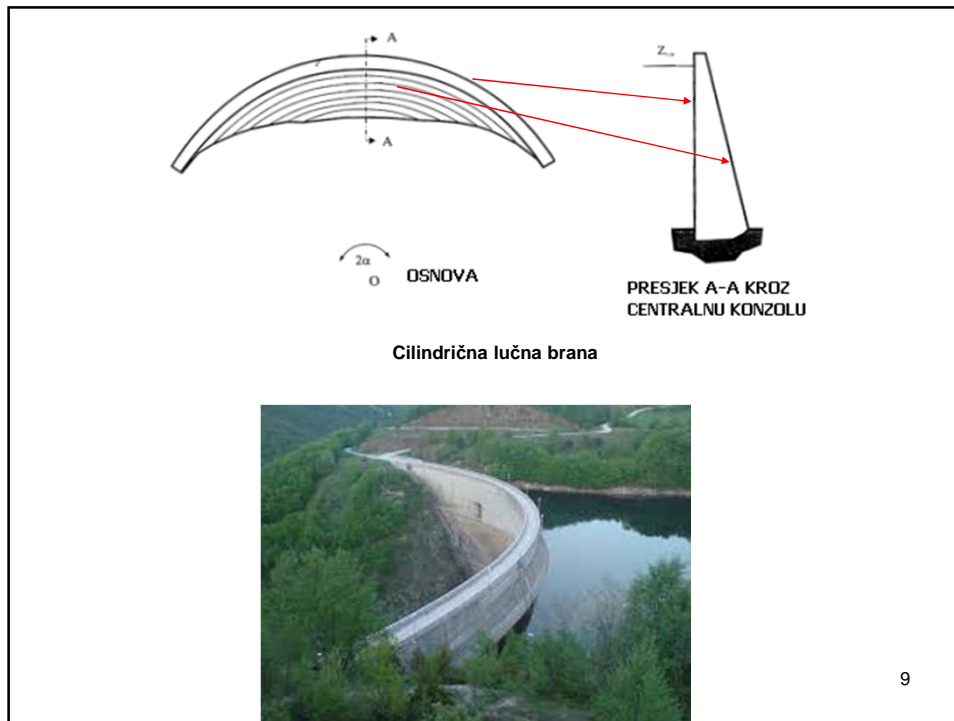
- Ekonomično iskorištenje efekta luka \rightarrow odnos visine (h_{BR}) i dužine u kruni (L_{BR})
 - veći od $h_{\text{BR}}:L_{\text{BR}} = 1:10$
 - poželjno da ovaj odnos ne bude manji od 1:5
- LB \rightarrow neophodni stabilni oslonci \rightarrow stijena dobrih mehaničkih osobina
 - svako veće pomjeranje bokova vodi rušenju LB
- Padine doline (bokovi LB) budu glatki \rightarrow nema koncentracije napona u izbočinama i udubljenjima
- Projektovanje luka \rightarrow u njima djeluju samo + NN (pritisak)
- LB \rightarrow kao i GBB od nearmiranog betona \rightarrow u svijetu i LB od armiranog betona

4





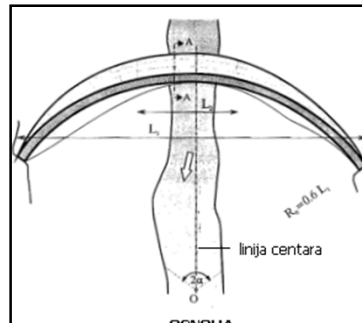
- LB → cilindrične i kupolne
 - LB cilindrične → jednostruka zakrivljenost → u horiz.presj. postoji zakrivljen.
vertikalni presjeci su konzole uspravne sa uzv.strane
 - LB cilindrične → isti poluprečnici uzvodnih lukova po cijeloj H brane
unutarnji poluprečnici se mijenjaju u f-ji H presjeka
 - LB cilindrične → jednostavne za gradnju i projektovanje
ne koriste sve mogućnosti površinskog nosača
slabo konzolno djelov. → njihova V > od LB sa 2-kom zakrivilj.
dvostruka zakrivljenost = kupolne LB
 - LB cilindrične → rjeđa primjena u praksi → primjena kod uzanih dolina rijeke
- 8



- Nije povoljno ni održavati istu vrijednost centralnog ugla po cijeloj **H** brane
 - moguć neželjeni efekat kontra nagiba konzole brane u višim dijelovima (blizu oslonaca)
 - tada su krajevi brane nagnuti ka nizvodnoj strani
 - niži nivoi u akumul. → nepovoljno opterećenje → teškoće pri gradnji

- Zbog toga → centralni ugao i poluprečnici ekstradosa i intradosa kupolnih **LB**
 - mijenjaju se po visini → prateći glatku krivu liniju

11

- 
- Presjek doline nesimetričan
- desni i lijevi dio luka projektovati sa različitim polupr. i sa dvije ili tri linije centara
- dodatno usložnjeno projektovanje i gradnja
-
- Izrazito nesimetrični profili → nisu povoljni za **LB**
 - uslijed koncentracije napona dobijamo deblje i skuplje konstrukcije
 - bolje postaviti **LB** na drugi profil → tehnički i ekonomski isplativije
 - ili gradnjom većih oslonaca na padini učiti profil što simetričnijim

12

- Projektovanje **LB** → složen postupak → uklapanje **LB** u teren
 - Postavljanje **LB** u prirodi → zahtjevниje od postavljanja **GBB** i nasutih brana
- ↓
- složena geometrija koju nameću krivine lukova i konzola
- ↓
- Voditi računa o debljini drobine i uslovima fundiranja
- ↓
- Uporedo sa uklapanjem sa terenom računamo naponsko stanje
- ↓
- vidjeti koji dijelovi **LB** su previše ili premalo iskorišteni
- ↓
- određene lukove radimo manje debljine ili veće debljine
- ↓
- tada se mijenjaju i poluprečnici krivina i centralni uglovi lukova

13

- Iterativni postupak projektovanja položaja **LB** i proračuna
- ↓
- rješenje optimalno korisne konstruktivne mogućnosti reljefa → oblik **LB**
- ↓
- naponi u prihvatljivim granicama za sve komb. opter. uz min. **V** brane



14

- Početne faze projektovanja (idejni projekt ...) → “iskustvena” metoda



preliminarna procjena dimenzija i oblika i uklapanje **LB** u teren



- “Iskustvena” metoda → kao početna iteracija pri konačnom oblikovanju **LB**



15

- Prvo za razmatranu **H** brane (h_{BR}) sa topografske podloge pregradnog mesta



odrediti **B** doline na KKB (L_1) i L_2 na koti koja odgovara 15% **H** brane ($0,15h_{BR}$)



na osnovu L_1 , L_2 i h_{BR} → statistička analiza velikog broja **LB**



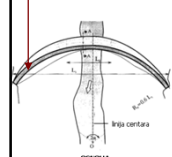
imamo iskustvene j-ne za promjenu debljine i oblika centralne konzole

centralna konzola = najviša konzola oslonjena obično u riječno dno

- Debljinu centralne konzole računamo:

u kruni (t_k) ; u temelju (t_T) i presjeku na $0,45 h_{BR}$ iznad temelja $t_{0,45}$

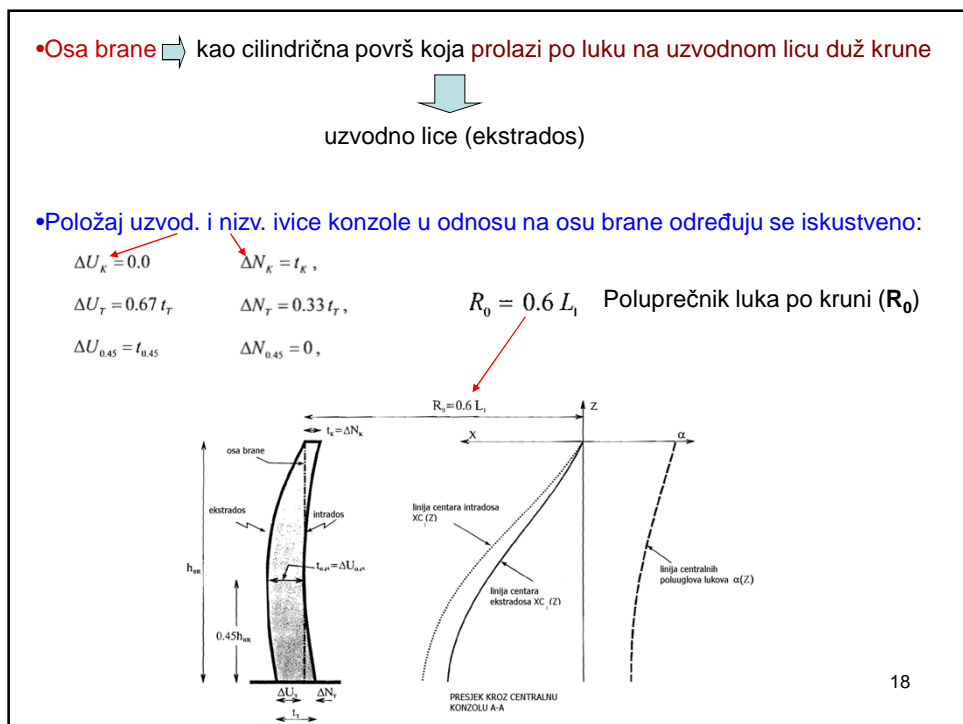
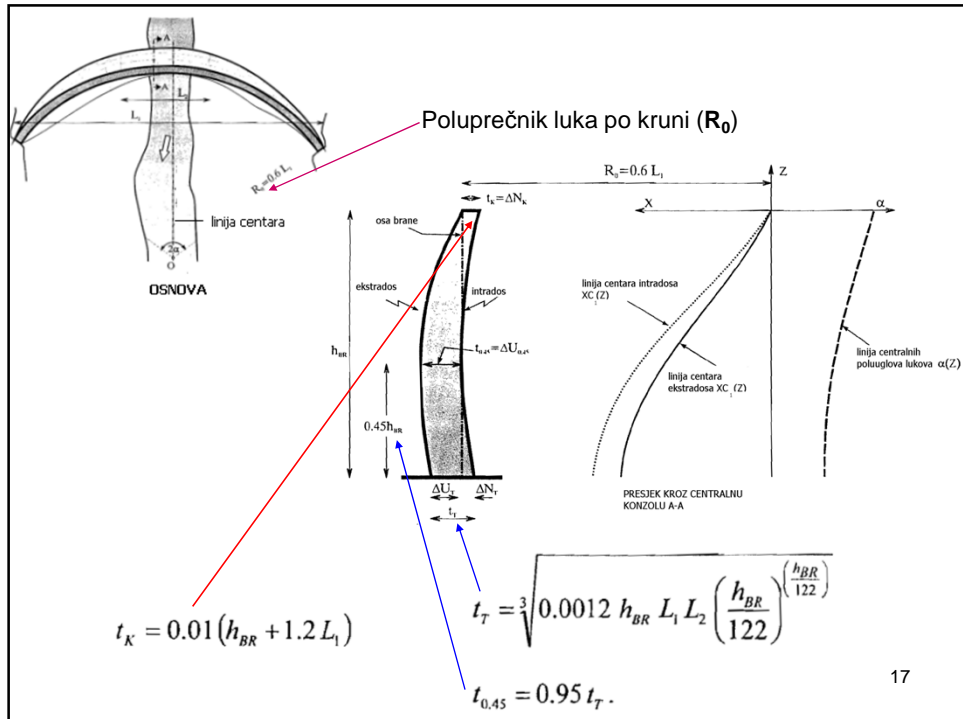
$$t_k = 0.01(h_{BR} + 1.2 L_1)$$



$$t_T = \sqrt[3]{0.0012 h_{BR} L_1 L_2 \left(\frac{h_{BR}}{122} \right)^{\frac{h_{BR}}{122}}}$$

$$t_{0,45} = 0.95 t_T .$$

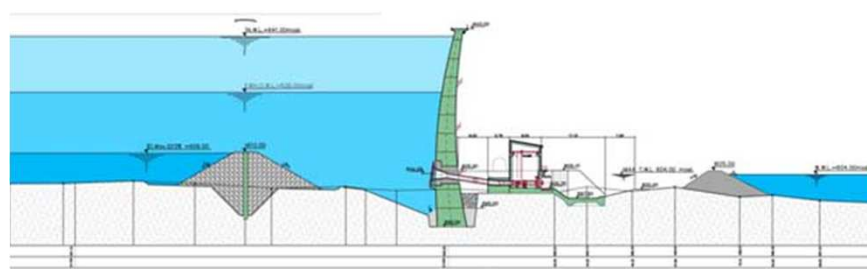
16



- Projektovanje → na situaciji ucrtati luk u krunci → odrediti lukove na nižim kotama
 - odrediti vrijednost poluprečnika, centralnog ugla i položaja centra za svaki od lukova
 - da bi luk dodirivao dolinu u tačkama oslonca na potrebnim izohipsama
 - da luk prolazi kroz tačku centralne konzole (na promatranoj koti)
 - na kraju crtamo linije poluprečnika, centralnih uglova i centara za ekstrados i intrados
 - dotjerivanje svih dimenzija da dobijemo glatke linije
 - svaka nepravilnost u konturi brane izaziva skokovitost u naponskom stanju

19

- Na osloncima → veće koncentracije napona → povećati debљinu luka u osloncu
- Moguće rješenje → lukovi na višim kotama (manje opterećeni) → const. debljine
 - lukovi na nižim kotama (više opterećeni) šire se u osloncima



20

- Ispravan proračun **LB** → sigurna i ekonomična konstrukcija
- Uporedno sa oblikovanjem **LB** → provjeriti da naponi i pomjeranja zadovoljavaju uslove nosivosti i stabilnosti konstrukcije
- Opterećenja koja djeluju na **GBB** djeluju i na **LB**
 - samo se drugačije prenose kroz objekat do oslonca
- **LB** → izraženiji uticaj od temp. na stanje napona nego kod **GBB**
- **LB** → znatno manje izražen uticaj uzgona nego kod **GBB**

21

- Novije vrijeme → proračun stanja napona i deformacija → **MKE**
- Početne faze projektovanja → primjena približnih metoda
 - metoda jedne konzole i više lukova
 - metoda više konzola i više lukova
- Navedene metode → pretpostavka → od opter. djeluje samo hidrostat. pritisak
 - neki slučajevi prihvatljivo uproštenje
- Jedan dio opterećenja prihvata luk → nose više opter. u gornjim dijelovima **LB**
- Drugi dio opterećenja prihvata konzola → nosi više optereć. u donjem dijelu **LB**

22

•Prvi uslov iz koga računamo napone i pomjeranja:



da zbir optereć. koje prima konzola i optereć. koje prima luk u zajedničkoj (presječnoj) tački razmatranog luka i konzole bude jednak hidrostatičkom pritisku u toj tački

•Drugi uslov:

na osnovu jednakosti radijalnog pomjeranja luka i konzole u zajedničkoj tački

•Prvi i drugi uslov → sistem j-na za rješavanje problema

•Mnoge LB u prvoj polovini XX vijeka → računate primjenom kotlovske formule



jednostavna formula uz primjenu korekcionog faktora

23

•LB → umjesto kontrole protiv klizanja → radimo mnogo složeniji proračun



proračun koeficijenta sigurnosti protiv "iškoljkavanja"



razmatramo smicanje po složenim kliznim površinama u padinama doline



24

- LB → voditi računa o termičkom širenju pri vezivanju betona (kao kod GBB)
 - betoniranje sa prekidima → rasipanje topline svježeg betonskog bloka
 - bez pojave prslina
 - Vertikalne razdjelnice između lamela → nezapunjene sve do potpunog očvršćavanja betona
 - LB → lamele moraju prenijeti opter. sa jedne na drugu → razlika od GBB
 - postiže se lučno dejstvo → razdjelnice zatvoriti c.m.
 - zalivanje razdjelnica pri niskim temperaturama → skupi se beton u lamelama kada temper. poraste (naknadno širenje) → imamo samo napone pritiska
- 25

- Posebna pažnja → obrada temelja
- Odgovarajući iskop → LB osloniti pravilno na zdravu stijenu po određenim uglovima
- LB → vršimo konsolidaciono injektiranje temelja
 - povećanje čvrstoće i popunjavanje prslina
 - imamo manje deformacije i onemogućeno ispiranje materijala
- LB → odgovarajući kvalitet betona → bitno za izvođenje i održavanje
 - beton u LB mnogo više iskorišten nego kod GBB

26

- LB → najmanje osjetljive na prelivanje



EO LB dimenz. na manji Q nego kod drugih brana

- LB → nisu ni najprikladnije za evakuaciju VV

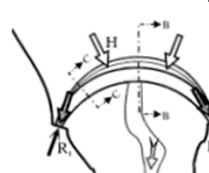
- LB → dio iznad prelivne ivice → luk je prekinut → taj dio "radi" kao kod GBB



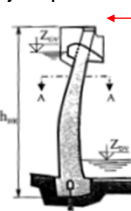
H prelivnog mlaza ne smije biti velika → radi ekonomičnosti konstrukcije



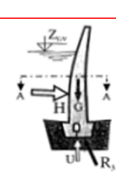
- vitke LB → izbjegći prelive sa ustavama



Presjek A-A



Presjek B-B (prelivni dio)



Presjek C-C (neprelivni dio)

27

- Nekada nemoguće postići evakuaciju računskog Q na LB



zbog uskog pregradnog profila i uslova o ograničenju H prelivnog mlaza



razmotriti rješenje sa bočnim ili šahtrnim prelivom ili sa tipom GB

- U tijelu brane imamo i "otvore" → galerije (injekcione, drenažne, pristupne) cjevovodi za korisnike, cijevi tem. ispusta ispusti za biološki minimum (ekološki Q)

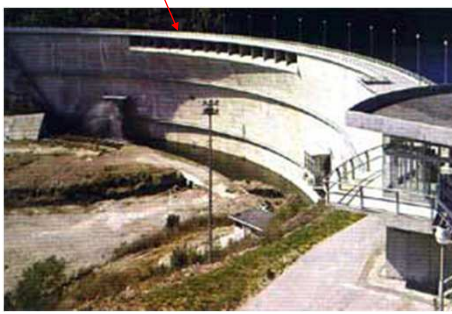
- Položaj i veličina otvora → ne smiju izazvati nepovoljno stanje napona u LB

28

- LB → treba oko **5x** manje betona nego kod **GBB** iste **H**
- LB → uske doline sa čvrstim neispucalim stijenama → **LB** dobro rješenje
 - najekonomičnije rješenje u odnosu na druge tipove brana
- Bitno → **složeni oblik kupole** → moguće povećanje troškova betoniranja
- Znatna cijena → stabilizacija ili sanacija bokova doline → ukoliko treba
 - 

29

Seizmičke sile

- Proračun preko **inercijalnih sila vode** koje se prenose na branu
 - inercijalne sile određivanje → postupak Westergarda
 - uzimamo ih kao pridružene sile hidrostatickom pritisku
- Kritičan udar → u smjeru tetine luka na kruni **LB**
 - 

30

- LB → max. naprezanja u ravnima uzvodnog i nizvodnog lica uz prepostavke:

1) brana homogeno i izotropno tijelo

2) između napona i deformacija → linearna zavisnost

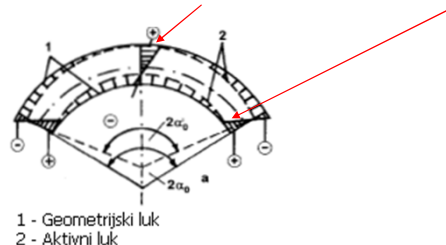


prihvatljivo do određene veličine naprezanja → zbog puzanja betona

3) modul elastičnosti kod napona pritiska i zatezanja je jednak

- Proračunima i kontrolama LB dokazano

-u horiz. presjec. (lukovima) uz napone pritiska imamo i napone zatezanja



Šema naprezanja luka

31

Savremene numeričke metode analize naprezanja i deform. lučnih brana

- LB → bilo koji tip → na vanjske sile reaguje kao prostorno tijelo

- LB → zakrivljena ploča promjenjive debljine



oslonjena po obodu i sa slobodnim gornjim rubom

- Najveća primjena → MKE i metoda konačnih razlika (manja primjena)



primjena → savremeni računari

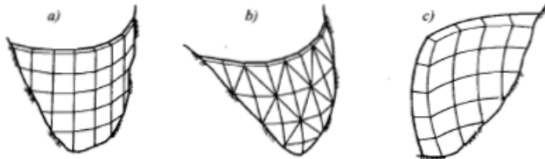


čvorovi mreže reprezentuju konturne uslove i samo opterećenje



potrebno znanje i iskustvo projektanta

32



Nekoliko modela MKE za LB:

a) pravougaoni elementi ; b) trougaoni elementi ; c) kubični elementi

- Karakteristika MKE → algebarski proces → rješavanja velikog broja j-na
j-ne linearne i nelinearne



nepoznati pomaci tačaka konstrukcije

- Opterećenje → staticko i dinamičko

- MKE → polazimo od približnog modela za koji tražimo tačno numeričko rješenje

33

- MKE → proračun LB → dobra aproksimacija oblika brane



lakše rješavanje problema konturnih uslova

- Za matematski model definirati:

a) geometriju,

b) osobine materijala u LB i temeljnog tlu,

c) opterećenje (G, hidrostat. opt., uzgon, led, seizmika, termička opter.)

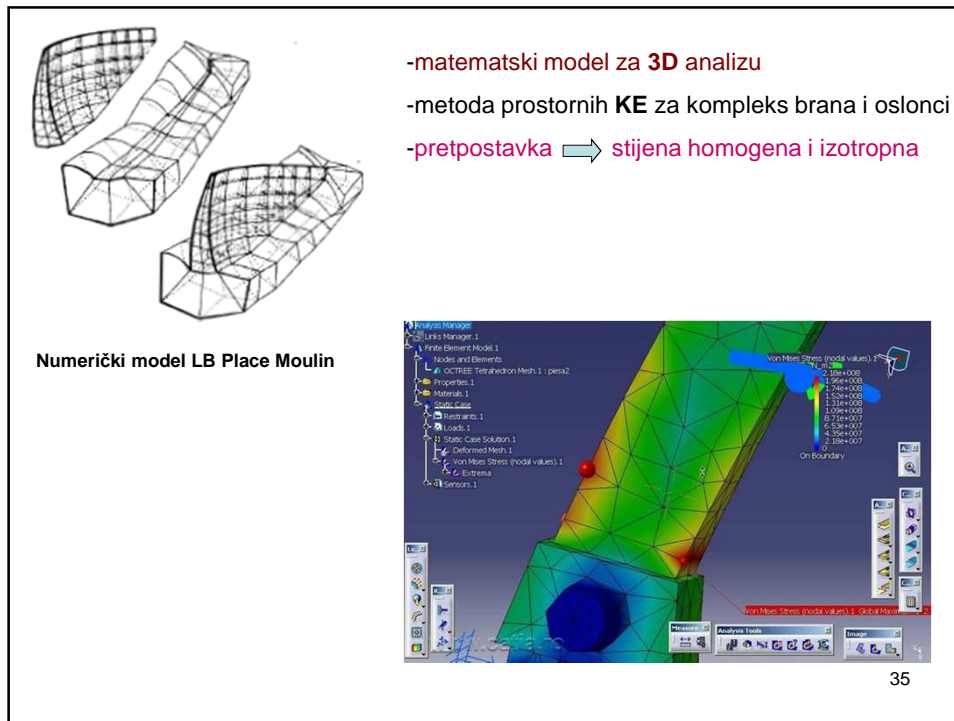


opterećenja mogu biti pojedinačna ili u kombinaciji opterećenja

Geometrija LB → brana sa temeljom = 3D zadatak

MKE → praktične potrebe → prikladna svim oblicima geometrijske idealizacije

34



- Savremeni kriteriji dopuštenih naprezanja LB:
 - Max. dopuštena tlačna naprezanja

Uobičajne kombinacije opterećenja $\sigma_{dop} \leq (0.20-0.25) \beta_{90}$

Ekstremne kombinacije opterećenja $\sigma_{dop} \leq 0.30 \beta_{90}$

β_{90} – tlačna čvrstoća betona nakon 90 dana na uzorku valjka 15x35 cm
 - Narezanja u luku (pritisak)

Bez uticaja temperature	6 MN/m ²
Sa temperaturnim opterećenjem	7 MN/m ²
 - Narezanja u luku (zatezanje)

Bez uticaja teperature	0,7 MN/m ²
Sa temperaturnim opterećenjem	1 MN/m ²

36

d) Naprezanja u konzoli (pritisak)

Bez uticaja temperature	6 MN/m ²
Sa temperaturnim opterećenjem	7 MN/m ²

e) Naprezanja u konzoli – uzvodno lice (zatezanje)

Max. NV bez uticaja temperature	0,7 MN/m ²
Max. NV sa temperaturnim opterećenjem	1 MN/m ²
Akumulacija prazna bez uticaja temperature	0,7 MN/m ²
Akumulacija prazna sa temperaturnim opterećenjem	1 MN/m ²

f) Naprezanja u konzoli – nizvodno lice (zatezanje)

Max. NV bez uticaja temperature	0,7 MN/m ²
Max. NV sa temperaturnim opterećenjem	0,7 MN/m ²
Akumulacija prazna bez uticaja temperature	0,7 MN/m ²
Akumulacija prazna sa temperaturnim opterećenjem	1 MN/m ²

37

Temelji lučnih brana

- Poboljšanje ispucalog stijenskog masiva → **injektiranje**



stvara se zona temelja koja se smatra kao proširenje temeljne stope

- Prenos sila sa tijela **LB** na stijenu → može i **prednapregnutim dugim sidrima**

- Iskustva** → **bitni faktori:**

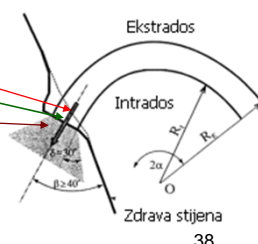
-ugao koji zatvara tangenta na osu luka sa izohipsama nizvodno od oslonca luka (α)

-ugao koji zatvara **R** sila sa izohipsom (β)

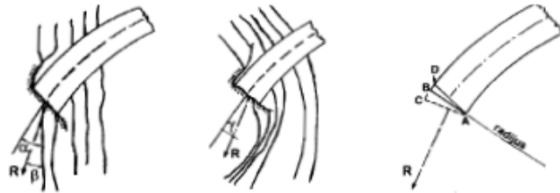
-ugao koji zatvara tangenta na osu luka sa **R** sila (γ)

-geometrijski oblik temeljne plohe

-linija oslonca → radijalna, neradijalna ili okomita na **R** sila



38



Odnos tangente; rezultujuće sile ;

radijalna A-B ; neradijalna linija temelja A-D ; A-C linija temelja okomita na R silu

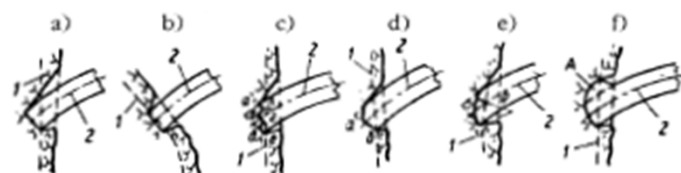


39

Neki oblici temeljne plohe (slika dole) → oblik temelja označen pod c) izbjegavati



oštri lomovi → pogodnost koncentracije naprezanja i loma



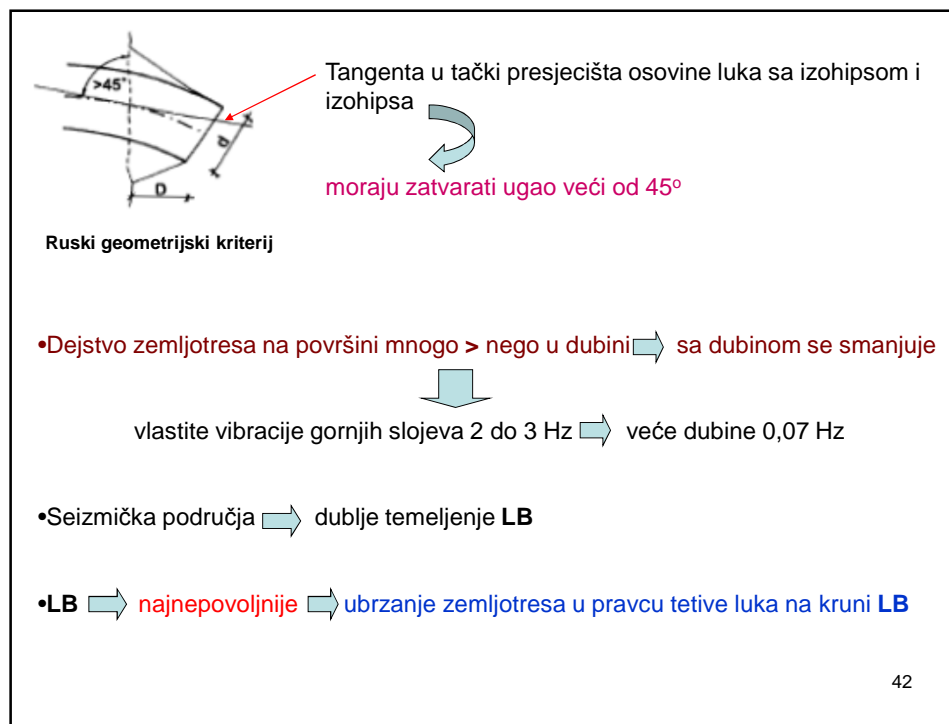
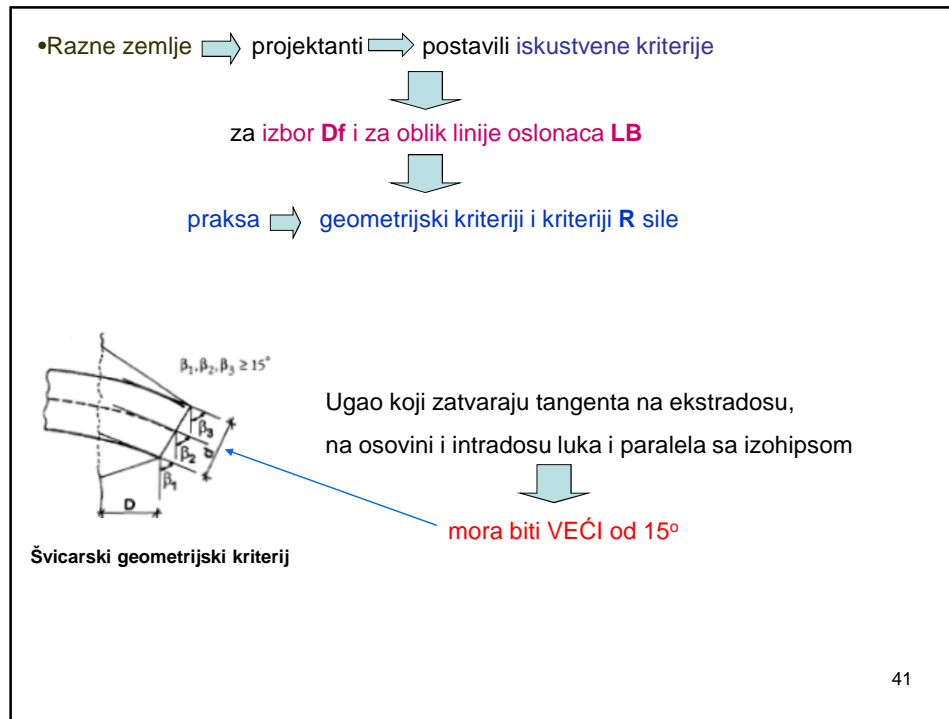
Geometrijski oblici temeljne plohe luka:

1 – granica stijene nepogodna za temeljenje ; 2 – luk

a) b) – radijalna linija temelja ; c) stepenasta linija ; d) poligonalna linija ; e) lučna linija

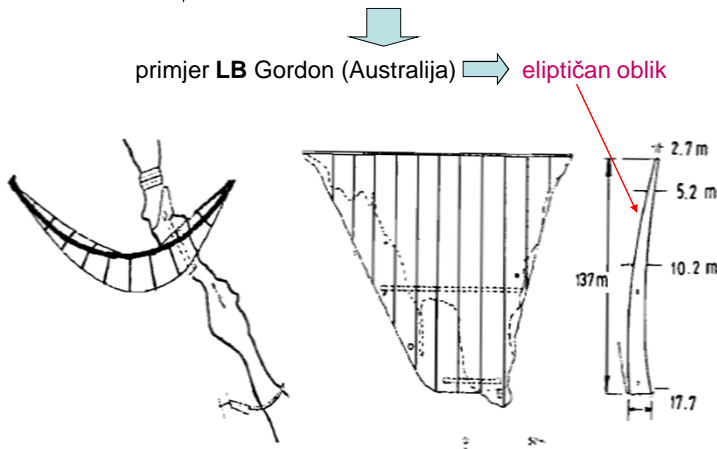
f) "grahorasta" linija (A – proširenje oslonačke stope luka)

40



Geometrijske i konstruktivne karakteristike

- Teški uslovi temelj. → projektanti postupno napuštaju kružni oblik hor. lučnih elem.



43

- Stalno istraživanje povoljnijih oblika LB

zbog prenosa sila na bokove → napuštanje kružnog oblika hor. elemenata

primjer → LB Kanai (Japan) H=140m i L=320m (u kruni) → paraboličan oblik

paraboličan oblik → izbjegavanje pojave zatežućih napona na nizv. licu blizu krune



44

- Geometrijski kriteriji oblikovanja LB strožiji nego kod drugih brana

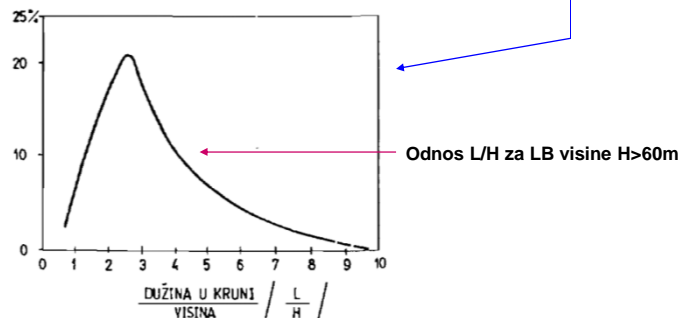
razlog ➔ lučno djelovanje ograničeno odnosom L/H

- Dijagram ➔ najveći procenat izgrađenih LB je sa odnosom L/H oko 3

•Što je odnos L/H veći ➔ LB (konstrukcija) je smjelija !!!

L – dužina u kruni LB

H – visina LB

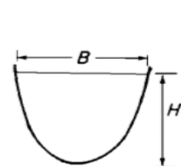


45

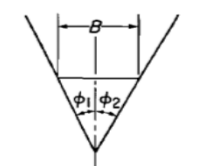
- Topografski uslovi i oblik pregradnog profila ➔ bitna uloga pri oblikovanju LB

•Postoje oblici: paraboličan ; trougaoni ili V oblik ; pravougaoni ili U oblik ;

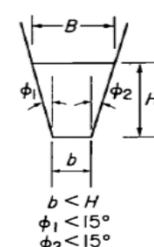
kombinovani U – V oblik ; oblik "široka dolina" ; složeni oblik



Paraboličan oblik



Trokutni ili V oblik



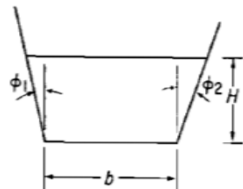
Pravokutni ili U oblik

46

•Karakteristike pregradnog profila


opisujemo odnosom **B/H** ; faktorom oblika ; faktorom asimetričnosti

$B/H < 3$ klinasti oblik; $3 < B/H < 6$ uska dolina; $B/H > 6$ široka dolina



Faktor oblika - K

$$K = \frac{b + H(\sec \phi_1 + \sec \phi_2)}{H}$$

D.O.

L.O.

Faktor asimetričnosti - $A_c = F_1/F_2$

$A_c > 1$, lijeva asimetričnost

$A_c < 1$, desna asimetričnost

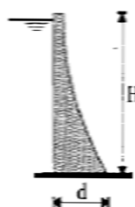
Faktor oblika i faktor asimetričnosti

47

•LB  postoji vitkost konzole ; vitkost luka ; ugaona (kutna) otvorenost luka

•Vitkost konzole  odnos d/H  d-debljina konzole u temelju


što je odnos d/H manji  LB je vitkija  na osnovu toga postoje LB:



- $d/H \leq 0.20$ tankostijene,
- $d/H = 0.20 - 0.33$ debelostijene,
- $d/H = 0.33 - 0.65$ lučno - gravitacijske,
- $d/H \geq 0.67$ gravitacijske.

48

• **Vitkost luka** → odnos r/d → r – radijus

$r/d=4$ do 5 → debeli lukovi → gubi se lučno djelovanje po cijeloj L luka

• **Debljina luka (d)** → smanjuje se povećanjem zakrivljenosti → smanjenjem r

i povećanjem odnosa L/r → do centralnog ugla $\alpha=133^\circ$

kada prekoračimo ugao 133° više gubimo na L luka nego što dobijamo na debljini

49

$L = r \cdot \alpha, \quad \sigma = \frac{P \cdot r}{d}, \quad d = \frac{P \cdot r}{\sigma}, \quad F = L \cdot d = d \cdot r \cdot \alpha = \frac{P \cdot r}{\sigma} \cdot r \cdot \alpha$

$F = \frac{P \cdot r^2 \cdot \alpha}{\sigma}, \quad a = r \cdot \sin \frac{\alpha}{2}, \quad F = \frac{P}{\sigma} \cdot \frac{a^2}{\sin^2 \frac{\alpha}{2}} \cdot \alpha$

$\frac{dF}{d\alpha} \rightarrow 0, \quad F \rightarrow F_{\min} \text{ za } \alpha = 133^\circ$

50